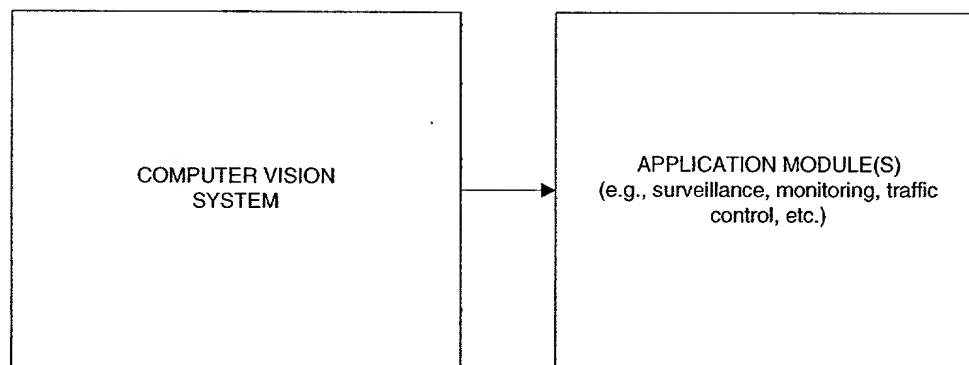


FIG. 1



↑
12

↑
14

10034696-1-10034696-1

10034696-122704

FIG. 2

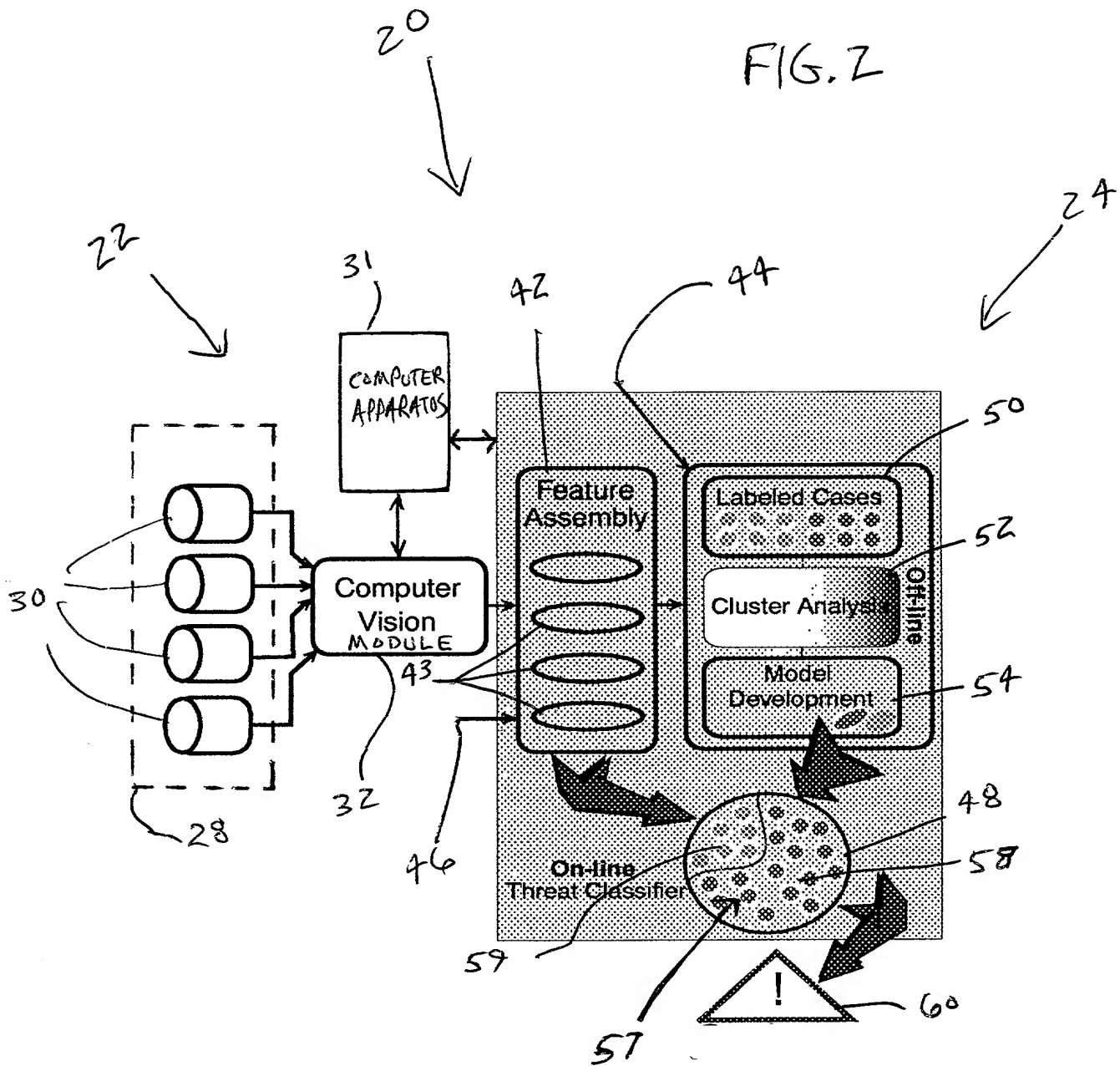
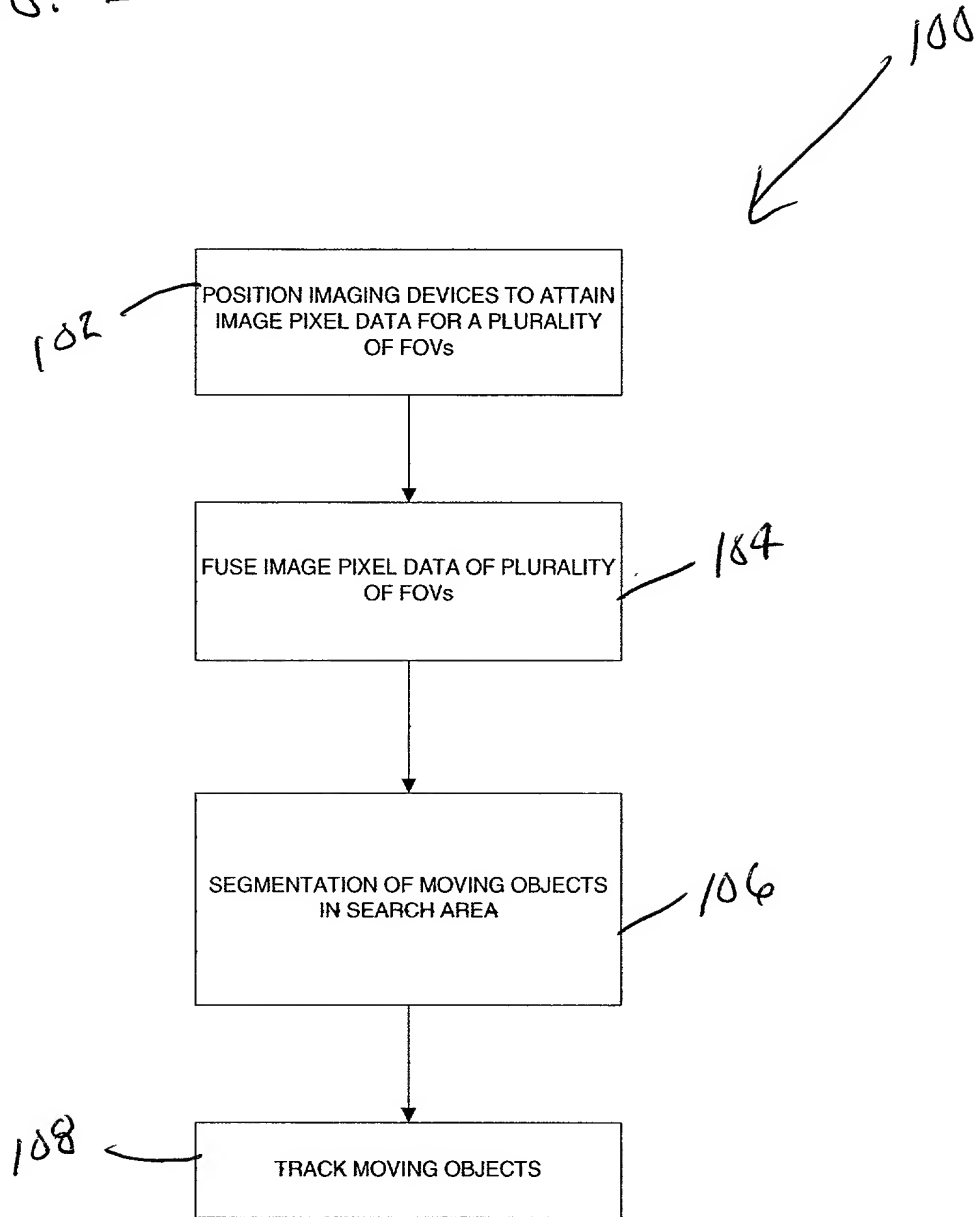


FIG. 3



10034696-133704

FIG. 4

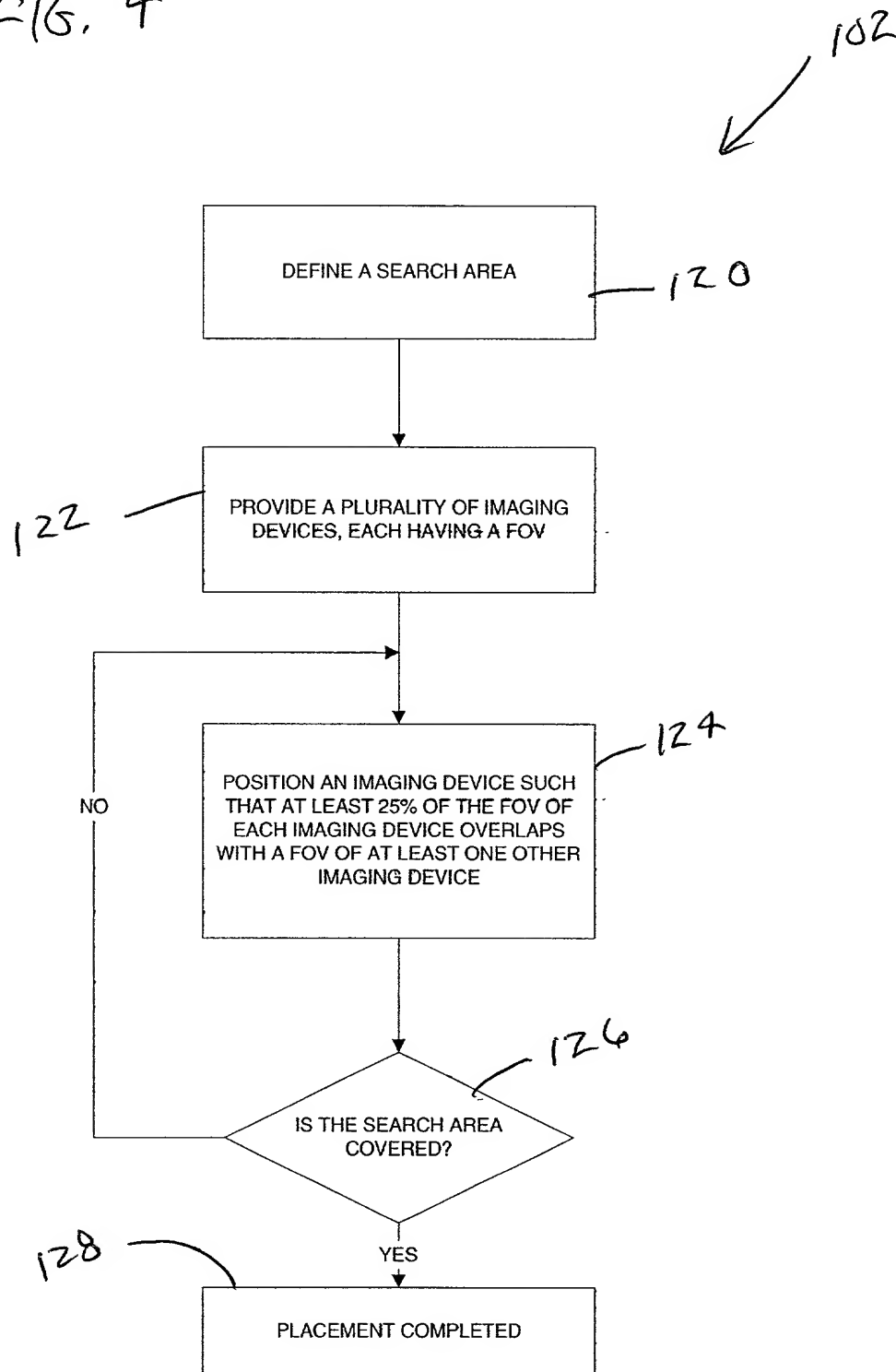


FIG. 4

FIG. 5

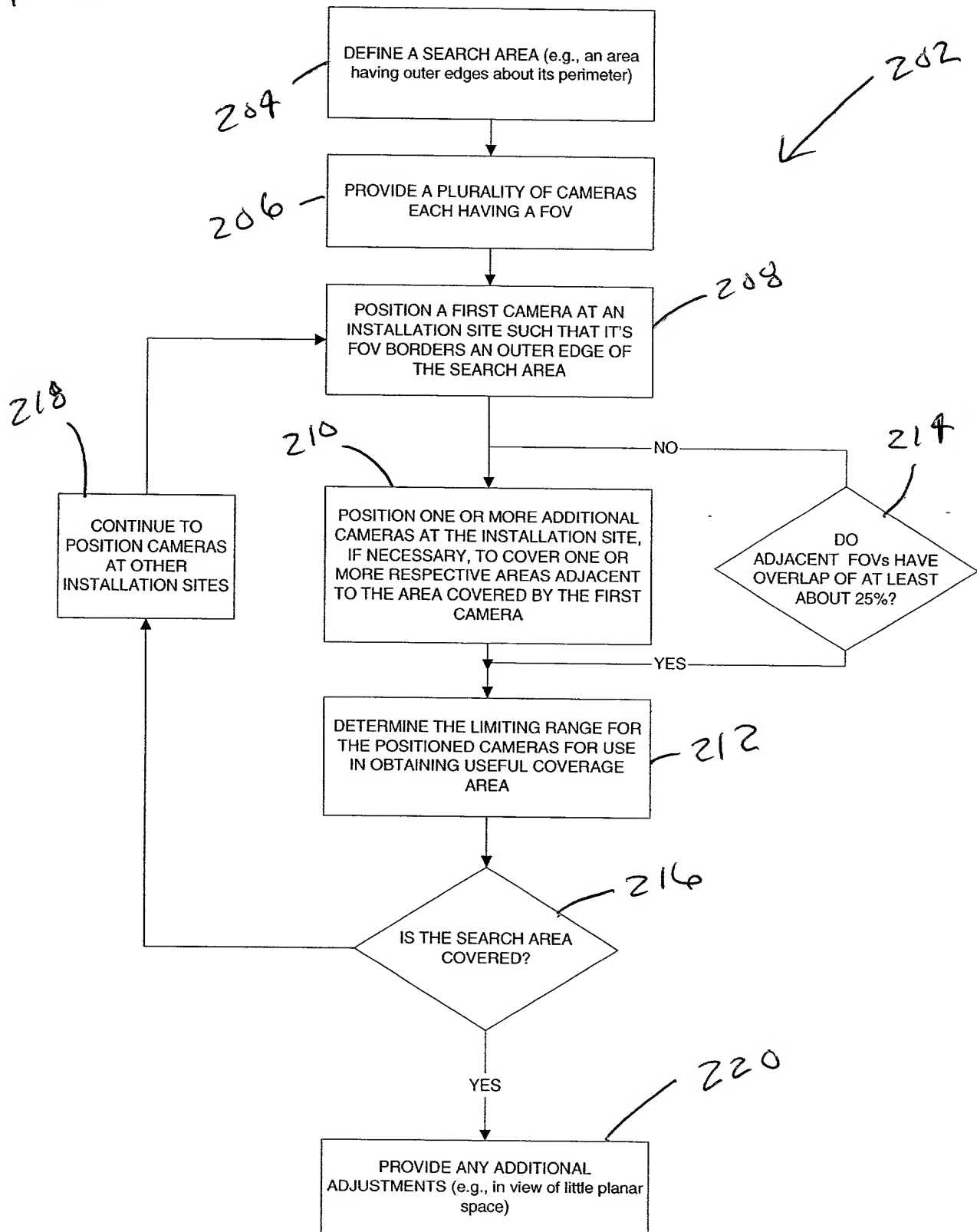


FIG. 6

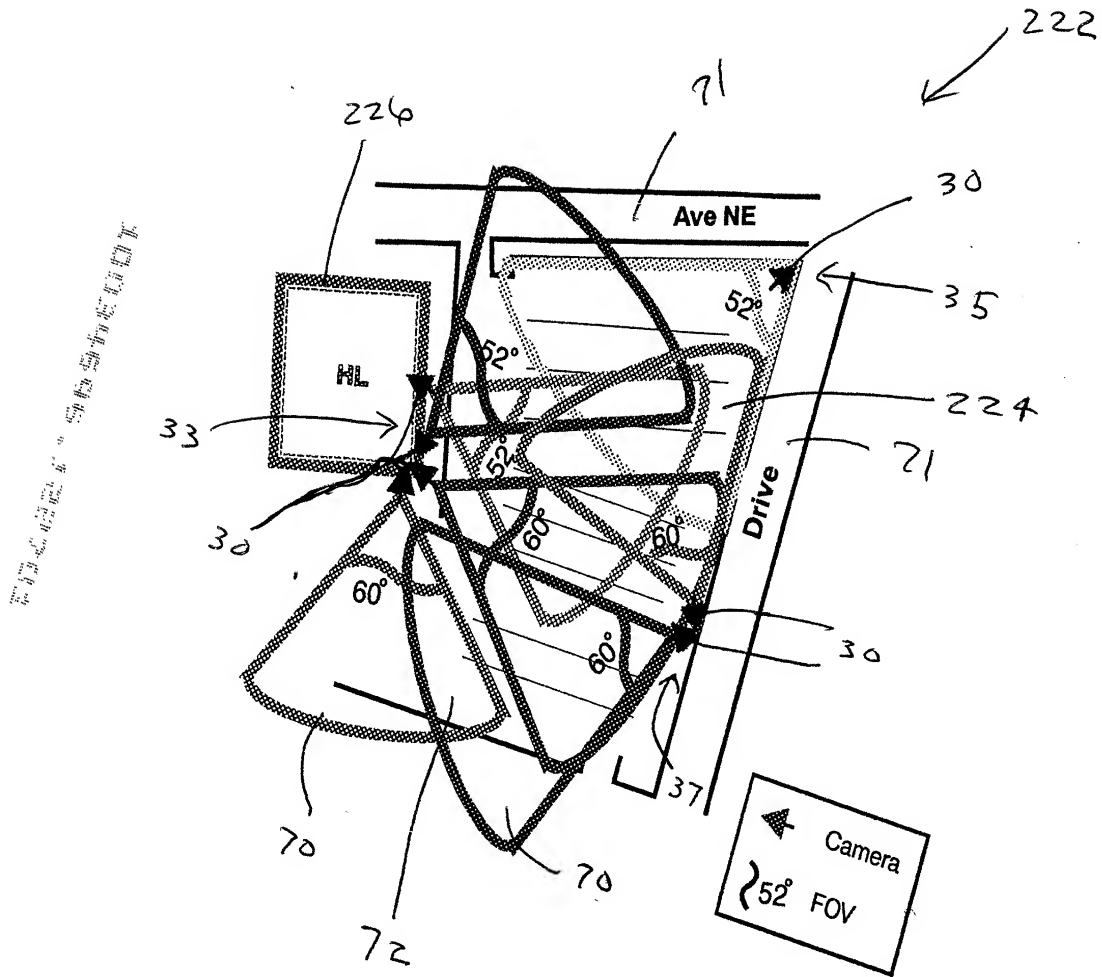
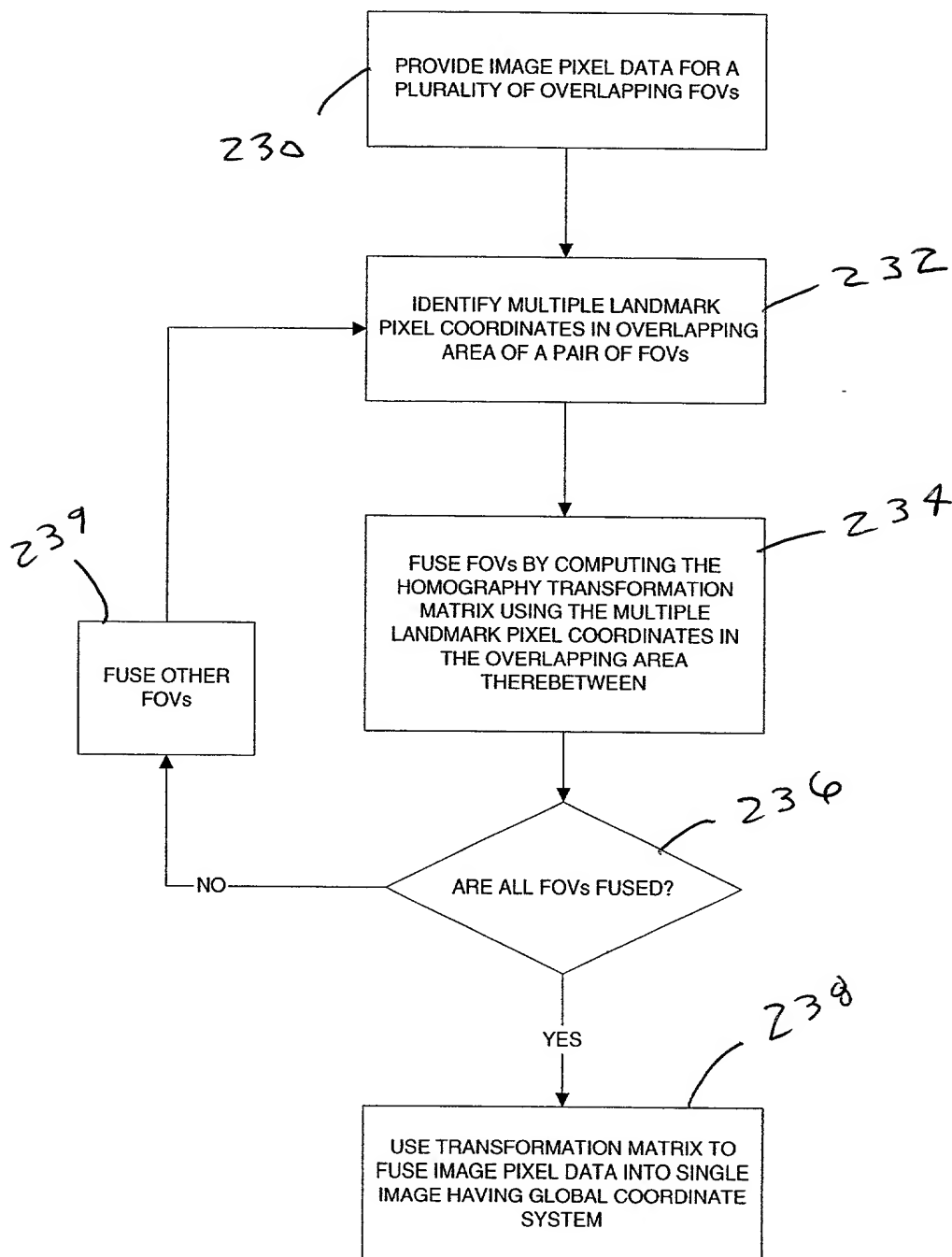


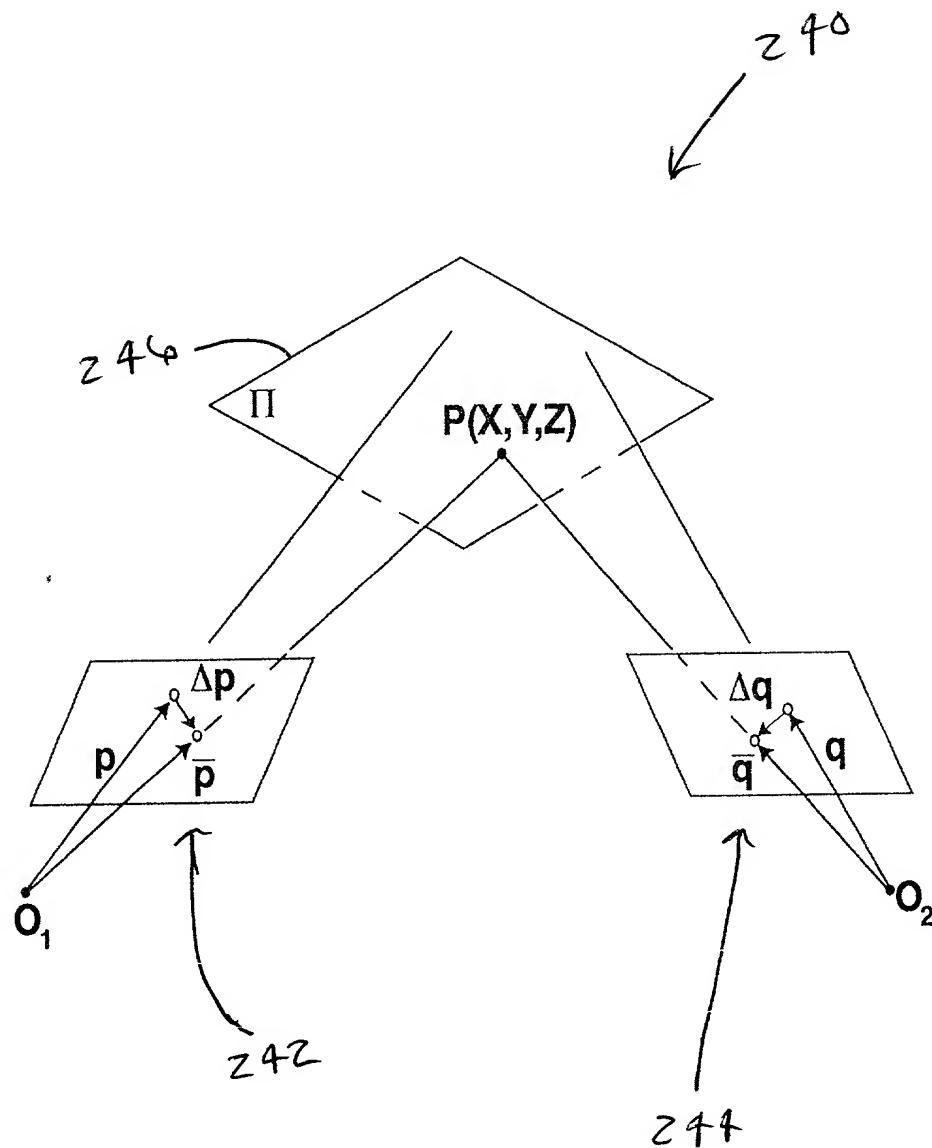
FIG. 7

104



1003465464

FIG. 8



10034696-122701

FIG. 9

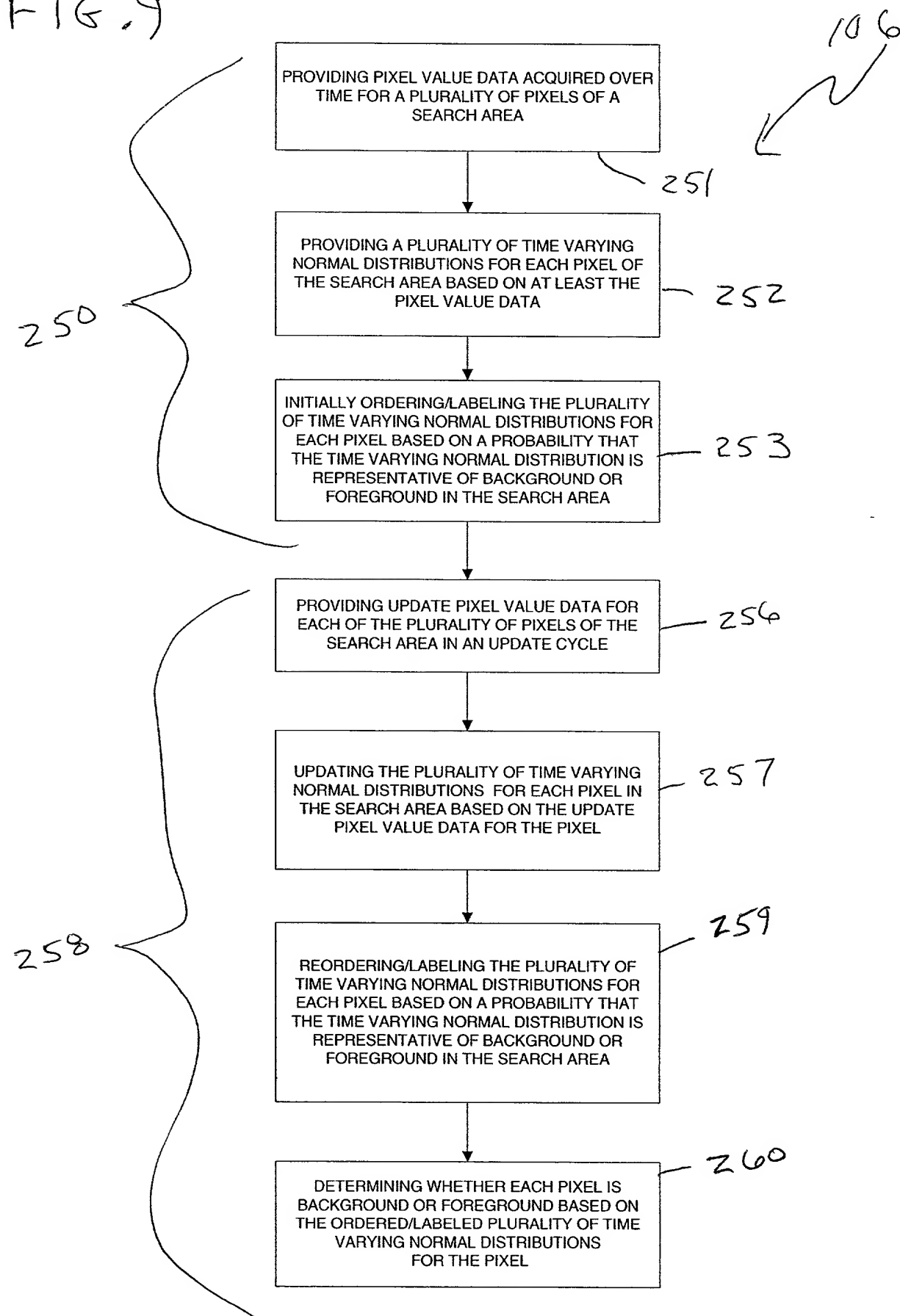
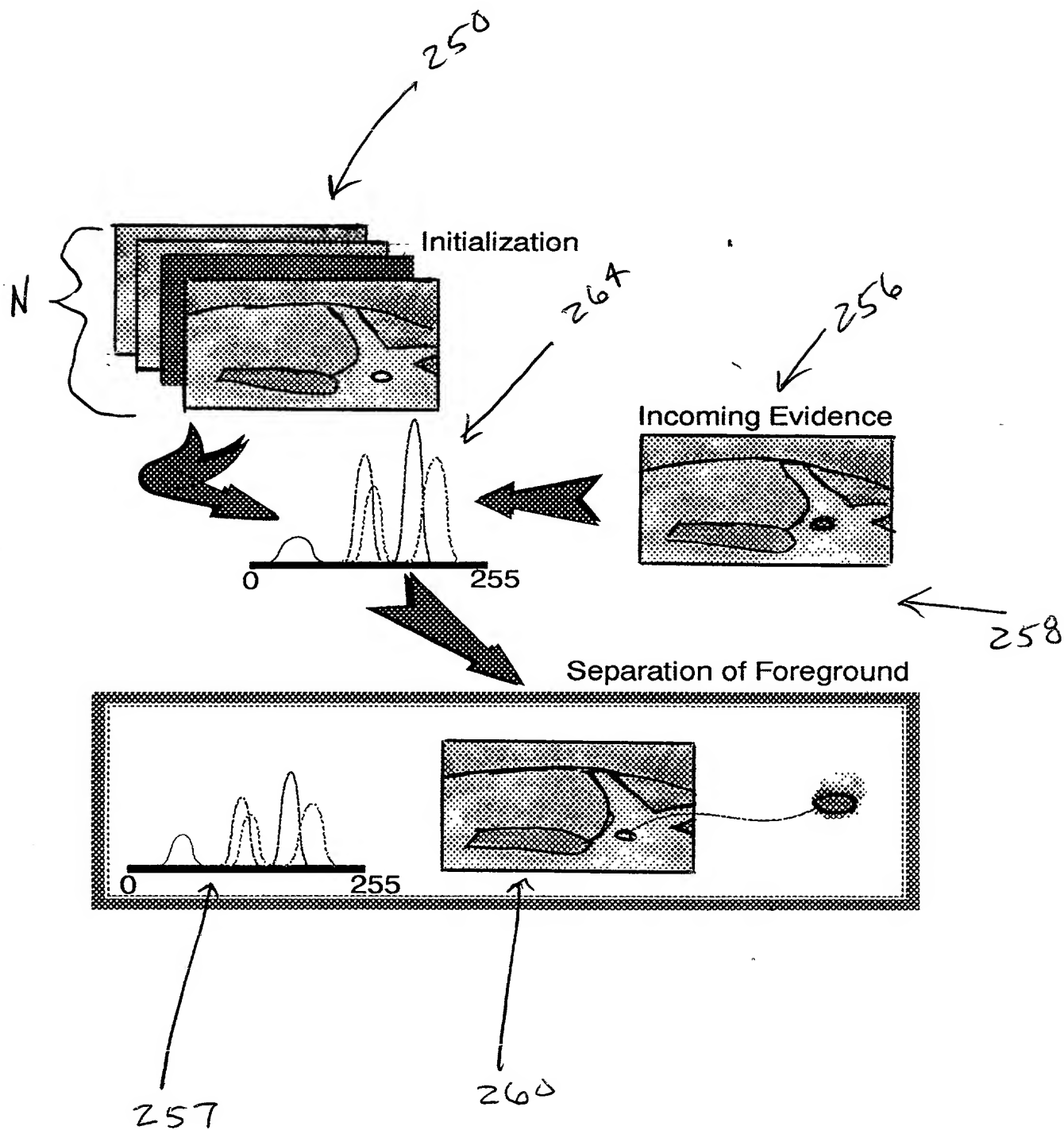


FIG. 10



10034696-12301

FIG. 11

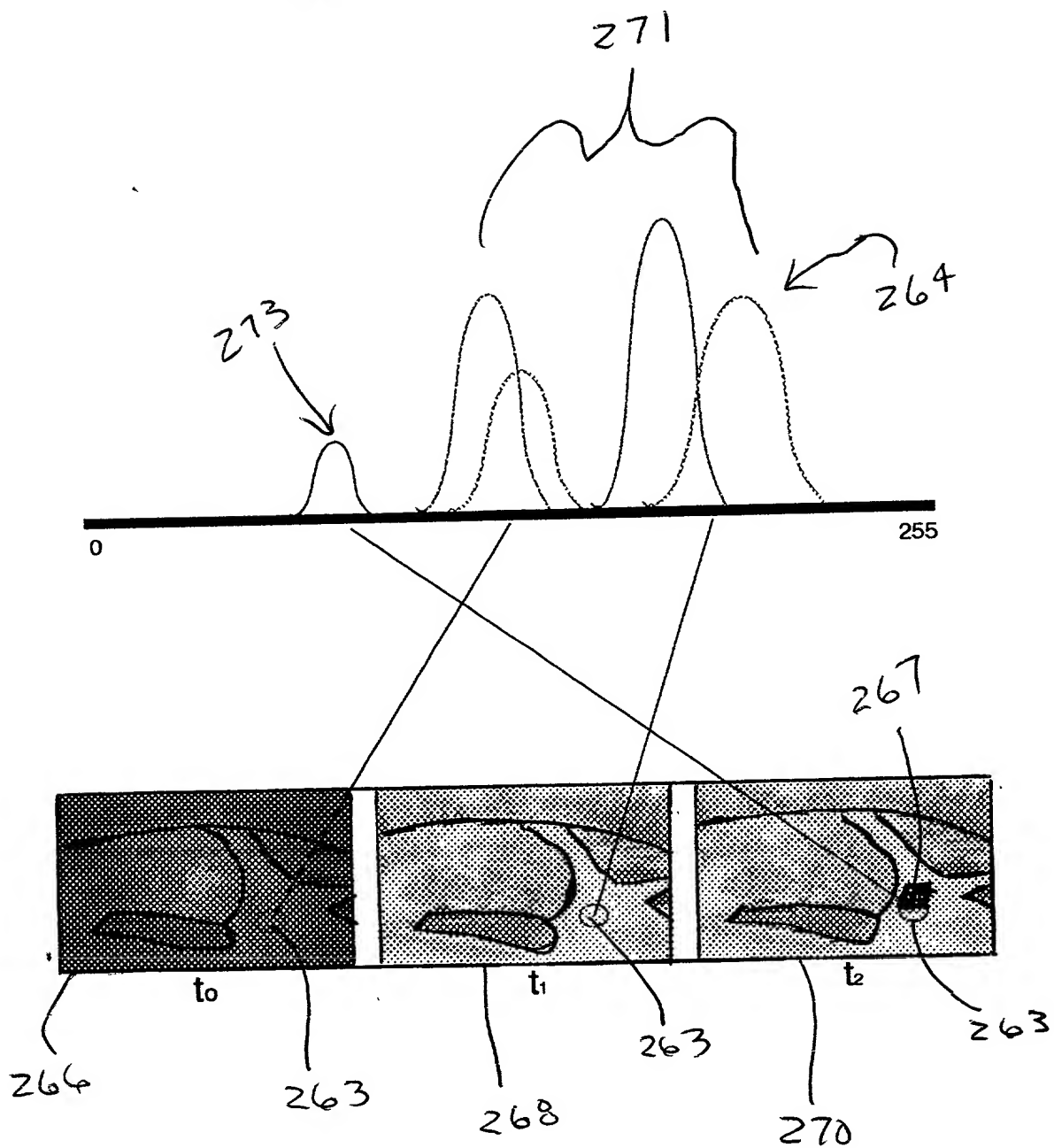


FIG. 12A

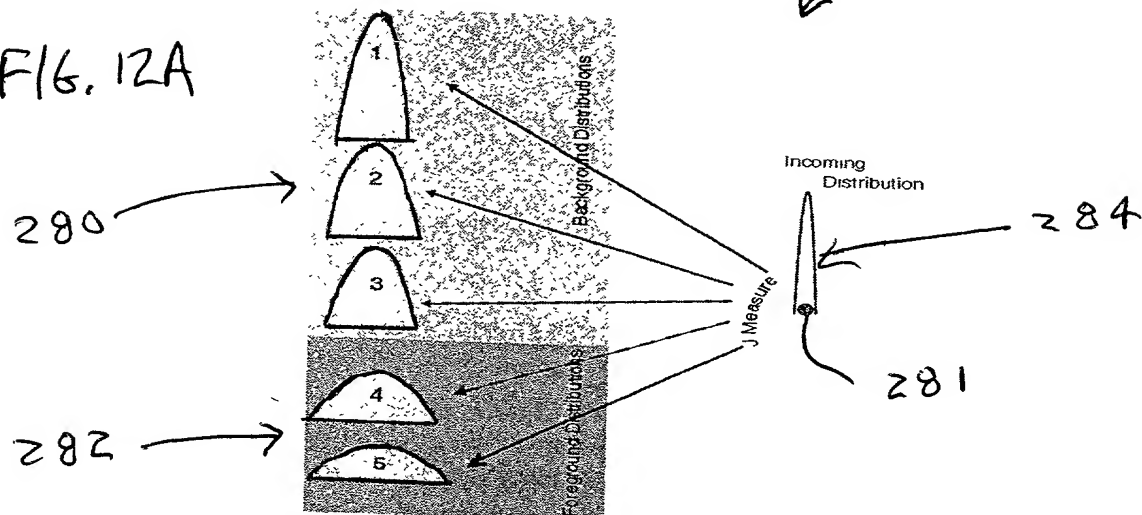
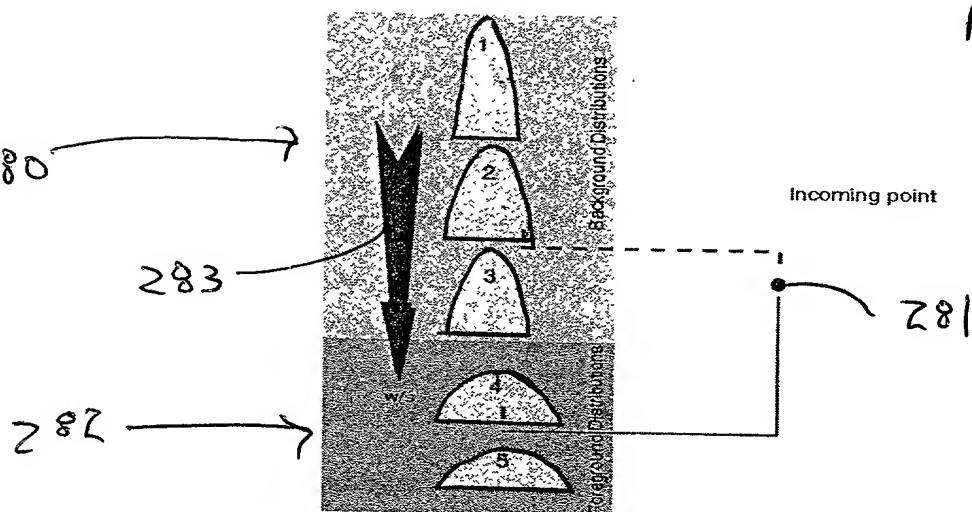
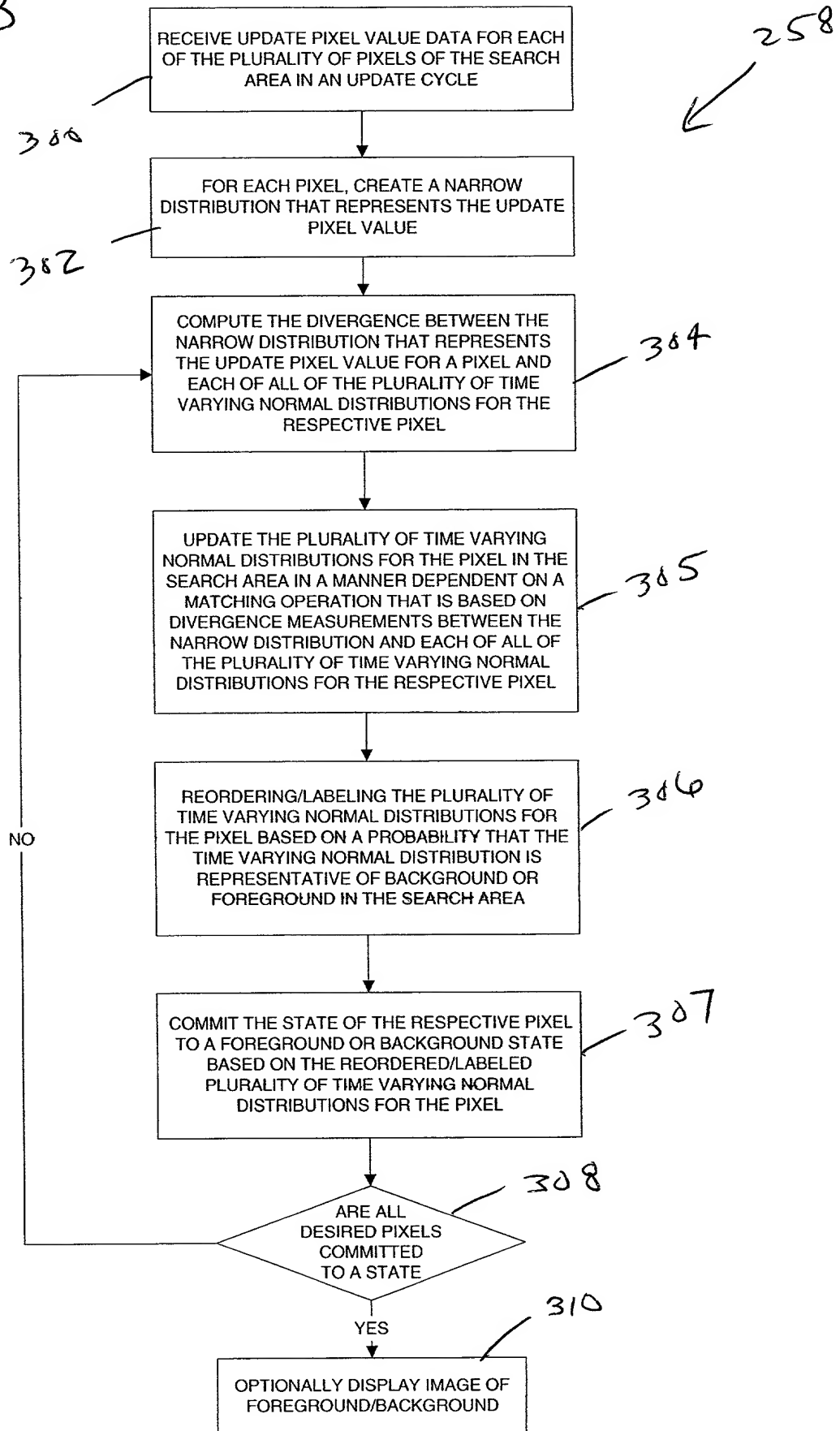


FIG. 12B



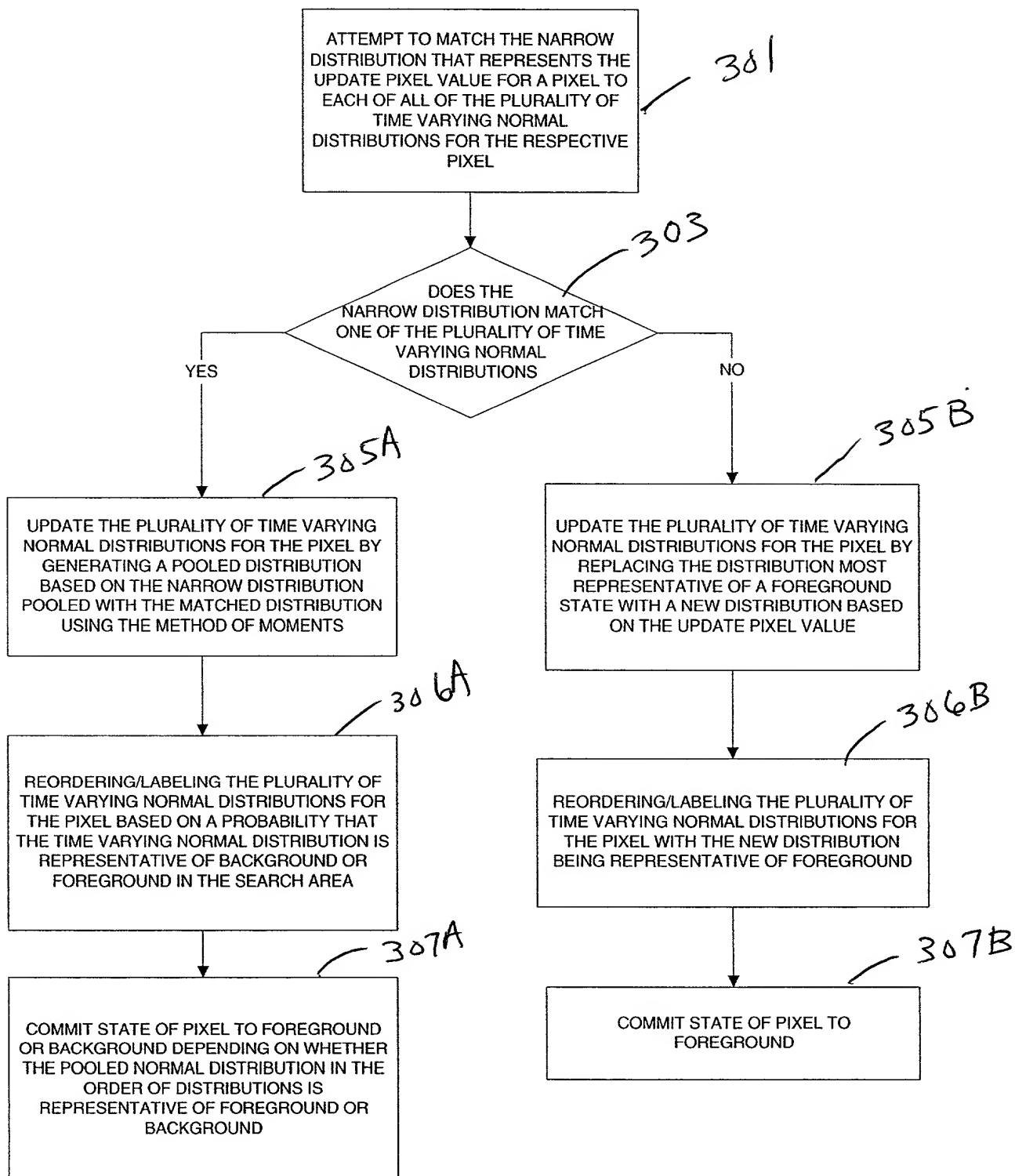
10034656-13701

FIG. 13



40034696-123701

FIG. 14



10044636-1001

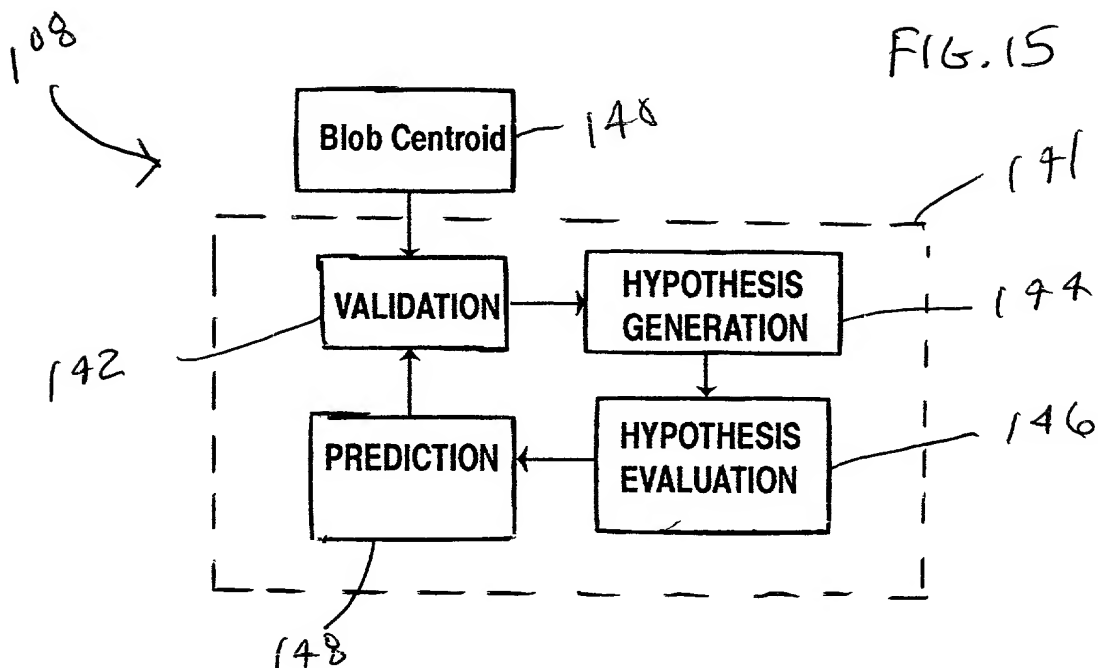


FIG. 16

Hypothesis	$z_1(1)$	$z_2(1)$	$z_1(2)$	Track No.
H_1	0	0	-	0
H_2	1	0	-	1
H_3	0	2	-	2
H_4	1	2	-	1,2
H_5	1	0	3(1)	3
H_6	1	2	3(1)	2,3
H_7	0	2	4(2)	4
H_8	1	2	4(2)	1,4
H_9	0	0	5	5
H_{10}	1	0	5	1,5
H_{11}	0	2	5	2,5
H_{12}	1	2	5	1,2,5

← 150

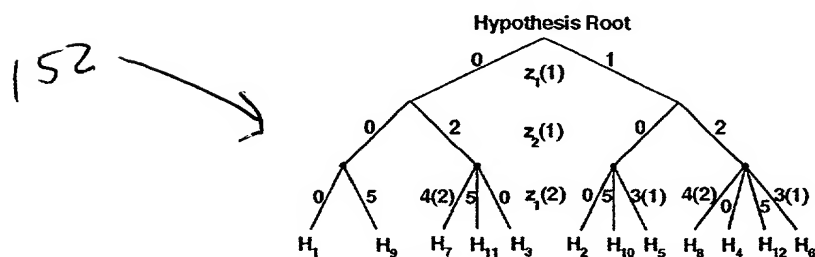
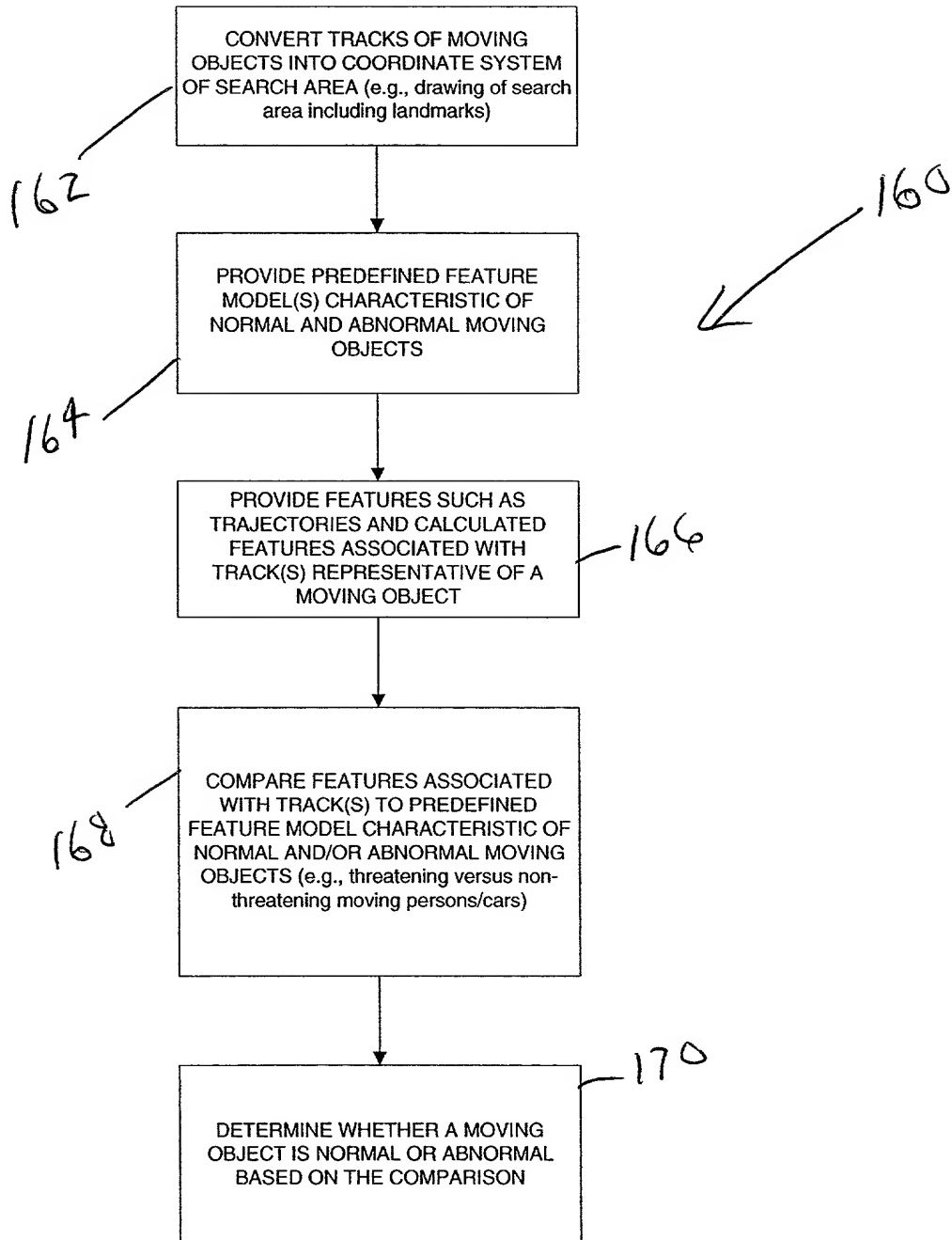


FIG. 18



10034636-10004

FIG. 19

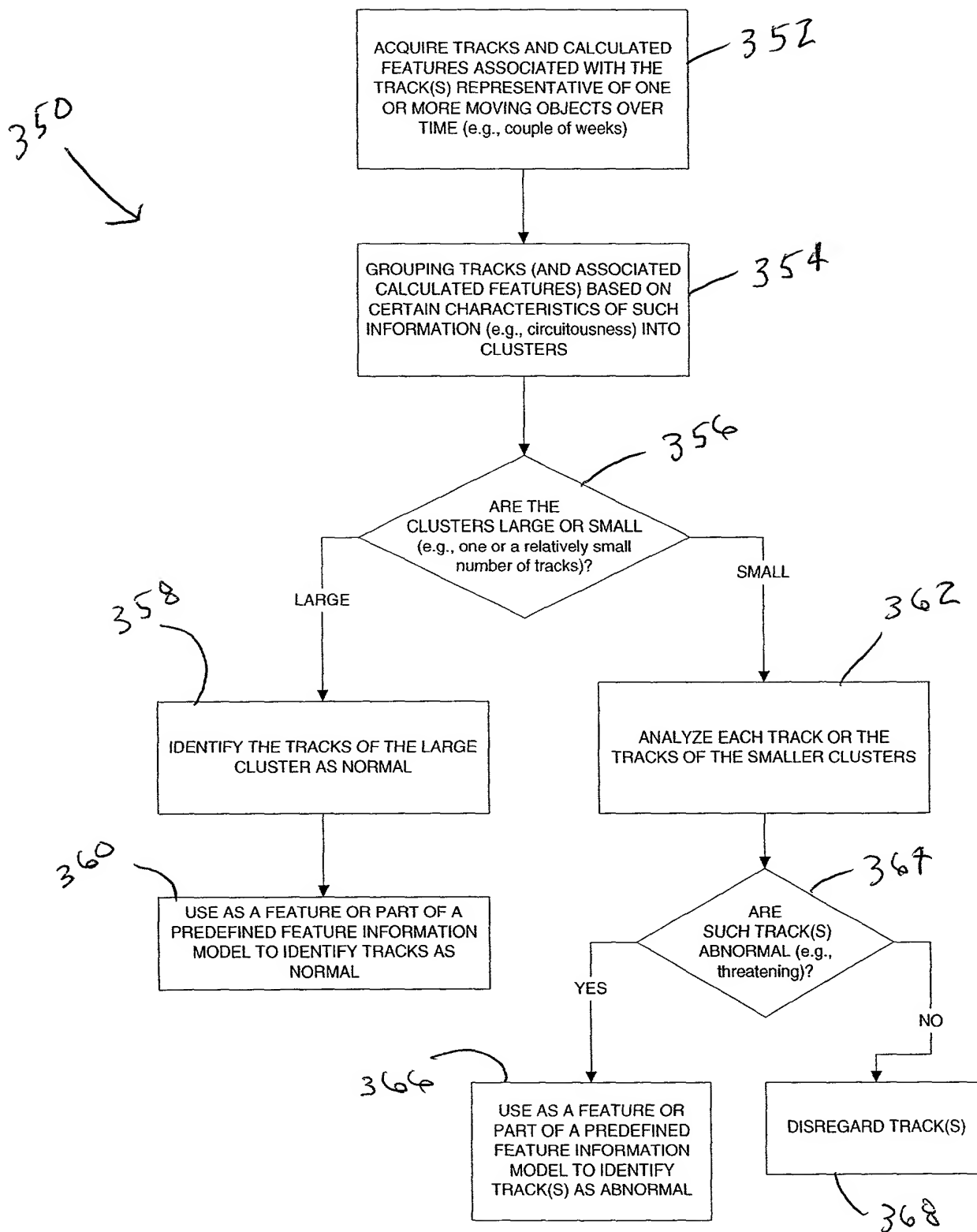


FIG. 20A

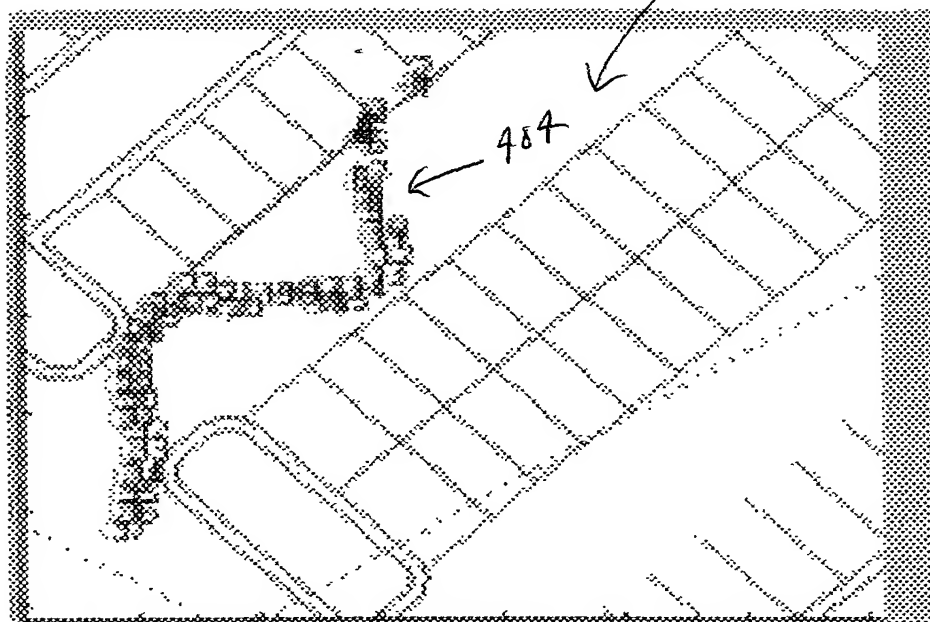
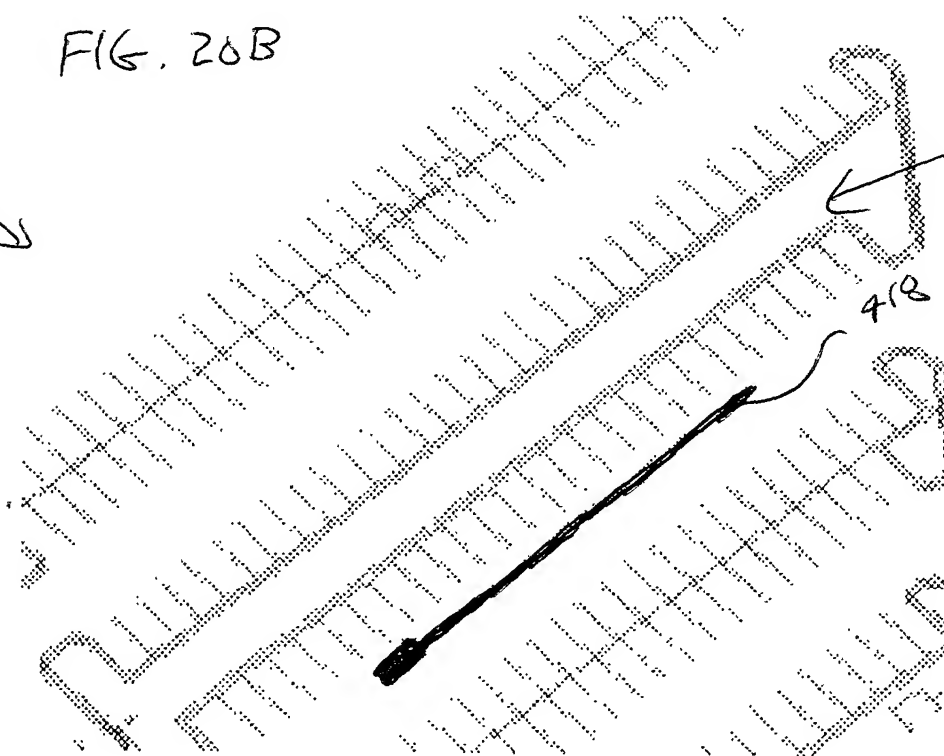


FIG. 20B

410



412

418

FIG. 20A